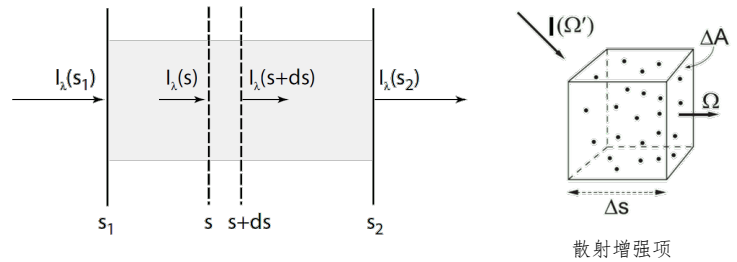


第九章 基于散射的辐射传输方程

9.1 辐射传输方程



9.1.1 基于散射的辐射传输方程

9.1.1.1 完整微分形式的辐射传输方程

模型构建 对于包含散射的情况，经过微元路径 ds 的辐射净改变

- ① 由吸收和散射共同引起的**直射辐射衰减** $dI_{\text{ext}} = -(\beta_a + \beta_s)I ds = -\beta_e \text{体积消光系数} I ds$
- ② 在局地热平衡条件下，由**发射**引起的**辐射增强** $dI_{\text{emit}} = \beta_a B ds$ 太阳短波可不考虑发射
- ③ 由**多次散射**引起的**辐射增强**：一个微小立体角 $d\omega'$ 中的辐射能量： $I(\Omega')d\omega'$ ，其经过散射之后总的散射辐射为 $\beta_s ds \text{总散射截面} \cdot I(\Omega')d\omega'$ ，该辐射方向为四面八方，再乘上往 Ω 方向的概率密度可得：

$$dI_{\text{scat}} = \frac{\beta_s}{4\pi} \int_{4\pi} p(\hat{\Omega}', \hat{\Omega}) I(\hat{\Omega}') d\omega' ds$$

其中**散射相函数** $p(\hat{\Omega}', \hat{\Omega})$ 有归一化条件： $\frac{1}{4\pi} \int_{4\pi} p(\hat{\Omega}', \hat{\Omega}) d\omega' = 1$ **散射概率密度函数**为： $\frac{p(\hat{\Omega}', \hat{\Omega})}{4\pi}$

微分表达式 经过微元路径 ds 的净辐射微分表达式 $dI = dI_{\text{ext}} + dI_{\text{emit}} + dI_{\text{scat}}$

完整方程 $dI = -\beta_e I ds + \beta_a B ds + \frac{\beta_s}{4\pi} \int_{4\pi} p(\hat{\Omega}', \hat{\Omega}) I(\hat{\Omega}') d\omega' ds$

9.1.1.2 完整通用形式的辐射传输方程

光学厚度 定义光学厚度： $d\tau = -\beta_e ds$ 前面的负号表明 s 数值越大，光学厚度越小

通用形式 两边同时除上 $d\tau$ ，得到总的辐射源是热发射和来自其他方向散射的加权之和，**单次散射反照率控制着各自权重**。如果 $\tilde{\omega} = 0$ ，散射项消失；如果 $\tilde{\omega} = 1$ ，则热发射成分消失。

$$\frac{dI(\hat{\Omega})}{d\tau} = I(\hat{\Omega}) - (1 - \tilde{\omega})B - \frac{\tilde{\omega}}{4\pi} \int_{4\pi} p(\hat{\Omega}', \hat{\Omega}) I(\hat{\Omega}') d\omega'$$

有趣性质 散射占比增大，则吸收占比减小，也就意味着发射减小，两者是此消彼长的关系。

9.1.1.3 相应简写形式的辐射传输方程

简化形式 $\frac{dI(\hat{\Omega})}{d\tau} = I(\hat{\Omega}) - J(\hat{\Omega})$ 其中**源函数**为 $J(\hat{\Omega}) = (1 - \tilde{\omega})B + \frac{\tilde{\omega}}{4\pi} \int_{4\pi} p(\hat{\Omega}', \hat{\Omega}) I(\hat{\Omega}') d\omega'$

性质 $dI = I d\tau - J ds = -\beta_e I ds + \beta_e J ds$ 发现消光截面越大，源贡献的辐射增强也越大。

9.1.2 平面平行大气辐射传输方程

平行假设 为什么大多数辐射传输解析和近似解都基于平面平行大气假设？

- ① 平面平行几何确实是**唯一**适合直接分析和/或数值求解的半真实情况（例如气候和天气预报模式）。
- ② 确实存在一些问题（例如无云晴空大气、大范围水平均匀的层状云盖）平面平行假设作为一种真实的近似显得非常合理。
- ③ 甚至在一些不合理的情况中，科学家们对最优的三维非均质处理方式都存在明显迟疑，特别是当计算效率非常重要时。

传输方程 $\mu \frac{dI(\tau, \mu, \phi)}{d\tau} = I(\tau, \mu, \phi) - J(\tau, \mu, \phi)$

- ① 使用天顶角 θ +方位角 ϕ 表示 $\hat{\Omega}$ ， $\mu = \cos \theta$ ， $d\omega = \sin \theta d\theta d\phi = d\cos \theta d\phi$

则其中源函数为 $J(\tau, \mu, \phi) = (1 - \tilde{\omega})B + \frac{\tilde{\omega}}{4\pi} \int_0^{2\pi} \int_{-1}^1 p(\mu, \phi, \mu', \phi') I(\mu', \phi') d\mu' d\phi'$

② 使用 τ 代替位置 \vec{r} ：因为平面平行大气与 x, y 分量无关，同时 $z \rightarrow \tau(z)$ 逐个对应， $\tau = \int_z^\infty \beta_e(z) dz$ 。

③ 光学厚度的转化：上文定义的光学厚度为 $d\tau(s) = -\beta_e ds$ ，此处为 $d\tau(z) = -\beta_e dz$ ，又有 $ds = \frac{dz}{\cos \theta}$

则有 $d\tau(s) = \frac{d\tau(z)}{\cos \theta} = \frac{d\tau(z)}{\mu}$ ，将其全部代回原式，则左边变为 $\mu \frac{dI}{d\tau}$ 。

输入条件 光学厚度(散射系数、吸收系数、 $\tilde{\omega}$)、相函数(μ, ϕ)、发射 B (温度、波长)、太阳辐射强度、观测位置

9.2 散射相函数

9.2.1 散射相函数

9.2.1.1 基本概念与方程

概率密度 散射相函数可以理解为**概率密度**：设光子从方向 $\hat{\Omega}'$ 出发并发生散射，那么光子方向位于中心方向 $\hat{\Omega}$ 的立体角微元 $d\omega$ 内的**概率**为 $\frac{1}{4\pi} p(\hat{\Omega}', \hat{\Omega}) d\omega$ 。散射相函数对 $\hat{\Omega}', \hat{\Omega}$ 的依赖关系可以非常复杂(四维函数：总格点至少 $(180 \times 360)^2$)，这与负责散射的**粒子尺度和形状**有关。

球形情况 如果悬浮在大气中的粒子是**球形或者随机取向**，那么**散射相函数只与初始方向 $\hat{\Omega}$ 和散射方向 $\hat{\Omega}'$ 的夹角(散射角) Θ 有关**(一维函数)。因此完整描述 p 的方向独立变量 $\hat{\Omega}', \hat{\Omega}$ 减至唯一的 $\cos \Theta = \hat{\Omega}' \cdot \hat{\Omega}$

归一化条件 引入坐标系，其 z 轴指向入射方向，有 $d\omega' = \sin \Theta d\Theta d\phi$

散射相函数的归一化条件简化为 $\frac{1}{4\pi} \int_0^{2\pi} \int_0^\pi p(\cos \Theta) \sin \Theta d\Theta d\phi = 1 \Rightarrow \boxed{\frac{1}{2} \int_{-1}^1 p(\cos \Theta) d \cos \Theta = 1}$

9.2.1.2 各向同性散射

各向同性 一个光子经过散射后在**所有方向 $\hat{\Omega}$ 上出现的概率都相同**，即**散射相函数等于常数**的情况：
 $p(\cos \Theta) = 1$ (满足归一化条件) 因此，光子新的传输方向无法从散射之前的传输方向进行预测，换句话说，光子“忘记”了它过去的一切。

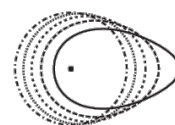
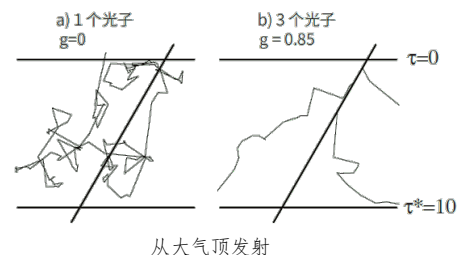
9.2.2 非对称因子

9.2.2.1 基本情况

非对称因子 大量散射光子的 $\cos \Theta$ 平均值，即 $g \equiv \frac{1}{4\pi} \int_{4\pi} p(\cos \Theta) \cos \Theta d\omega$

$\frac{p(\cos \Theta)}{4\pi} d\omega$ 概率 $\times \cos \theta_{\text{该方向}}$ 由此可知， $-1 \leq g \leq 1$

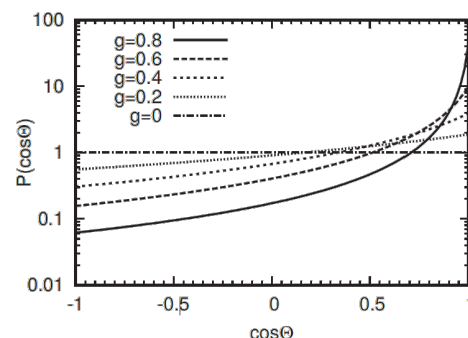
- 情况讨论**
- ① $g > 0$ ：光子倾向于散射至前半球，即**前向散射**占主导【除瑞利散射外大部分粒子】。
 - ② $g < 0$ ：光子倾向于散射至后半球，即**后向散射**占主导。
 - ③ $g = 1$ ：光子散射至与其初始传输方向**完全相同**的方向 ($\Theta = 0^\circ$)。
 - ④ $g = -1$ ：光子散射至与其初始传输方向**完全相反**的方向 ($\Theta = 180^\circ$)。
 - ⑤ $g = 0$ ：光子散射至前后半球的概率相等，如**各向同性散射【瑞利散射】**。



9.2.2.2 Henyey-Greenstein 相函数

数学形式 $p_{\text{HG}}(\cos \Theta) = \frac{1-g^2}{(1+g^2-2g \cos \Theta)^{3/2}}$

物理图像 其并非针对特定粒子的相函数，其是一个经验性的拟合相函数。右图为对数标度的概率图。



9.3 单次散射的求解

9.3.1 基于单次散射的辐射传输方程

9.3.1.1 单次散射辐射传输方程的基本形式

单次散射 只考虑大气对太阳辐射的单次散射，需要满足条件：

- ① 多次散射可以忽略 ($\tilde{\omega} \ll 1$ 和/或 $\tau^* \ll 1$)
- ② $\tilde{\omega}$ 和 $p(\cos \Theta)$ 都是常数
- ③ 唯一外部照明是平行光束辐射源，例如太阳

基本方程 不考虑热发射，散射辐射传输方程表达式：

$$\mu \frac{dI(\tau, \mu, \phi)}{d\tau} = I(\tau, \mu, \phi)_{\text{衰减项}} - \frac{\tilde{\omega}(\tau)}{4\pi} \int_0^{2\pi} \int_{-1}^1 p(\mu, \phi; \mu', \phi') I(\mu', \phi') d\mu' d\phi'_{\text{多次散射增强项}}$$

模型假设 假设只有**太阳辐射源**的**直接透射辐射强度**对散射辐射强度 $I(\mu', \phi')$ 有贡献：

$$I(\mu', \phi') = F_0 \delta(\mu' - \mu_0) \delta(\phi' - \phi_0) e^{\tau/\mu_0} \quad \text{其中有狄拉克}\delta\text{函数}$$

然而，单方向 μ', ϕ' 可以用太阳的方向 μ_0, ϕ_0 代替，所以可以把 $p(\mu, \phi; \mu', \phi')$ 提出来，只剩下辐射强度对

立体角积分： $\int_0^{2\pi} \int_{-1}^1 I(\mu', \phi') d\mu' d\phi' = F_0 \exp(-\tau/\cos \theta_0)$ 则无需直到辐射强度的分布。

方程简化 那么**基于单次散射**的辐射传输方程表示为 $\mu \frac{dI}{d\tau} = I - \frac{F_0 \tilde{\omega}}{4\pi} p(\cos \Theta) e^{\tau/\mu_0}$

$$\text{上式可以进一步简写成以下形式 } \mu \frac{dI}{d\tau} = I - J \quad J = \frac{F_0 \tilde{\omega}}{4\pi} p(\cos \Theta) e^{\frac{\tau}{\mu_0}}$$

9.3.1.2 向上与向下的散射辐射

向下观测 探测器位于大气顶，向下观测的上行散射辐射

$$\begin{aligned} I(0) &= I(\tau^*) e^{-\tau^*/\mu} + \int_0^{\tau^*} \frac{F_0 \tilde{\omega}}{4\pi} p(\cos \Theta) e^{\frac{\tau}{\mu_0}} e^{-\frac{\tau}{\mu}} d[\tau/\mu]_{\text{微分光学厚度}} \\ &= I(\tau^*) e^{-\tau^*/\mu} + \frac{F_0 \tilde{\omega}}{4\pi \mu \left(\frac{1}{\mu_0} - \frac{1}{\mu} \right)} p(\cos \Theta) \left[e^{\tau^* \left(\frac{1}{\mu_0} - \frac{1}{\mu} \right)} - 1 \right] \end{aligned}$$

如果假设 $\tilde{\omega}$ 和 $p(\cos \Theta)$ 都是常数，则可以积分出最终的表达式。

向上观测 探测器位于地表，向上观测的下行散射辐射

$$I(\tau^*) = I(0) e^{\tau^*/\mu} + \int_0^{\tau^*} \frac{F_0 \tilde{\omega}}{4\pi} p(\cos \Theta) e^{\frac{\tau}{\mu_0}} e^{\frac{\tau^* - \tau}{\mu}} d[-\tau/\mu] = I(0) e^{\frac{\tau^*}{\mu}} - \frac{F_0 \tilde{\omega}}{4\pi \mu \left(\frac{1}{\mu_0} - \frac{1}{\mu} \right)} p(\cos \Theta) \left[e^{\frac{\tau^*}{\mu_0}} - e^{\frac{\tau^*}{\mu}} \right]$$

9.3.1.3 大气顶部和底部的散射辐亮度

进步简化 $\left. \begin{array}{l} \text{对于 } \mu > 0, I(0) \\ \text{对于 } \mu < 0, I(\tau^*) \end{array} \right\} = \frac{F_0 \tilde{\omega} \tau^*}{4\pi |\mu|} p(\cos \Theta)$ 该解只有在以下条件满足时成立：

- ① 仅考虑散射大气辐射贡献，**忽略直射透射辐射项**
- ② 假设忽略多次散射的原因是 $\tau^* \ll 1$
- ③ 假设 μ_0 和 μ 不是特别小于一，不能过于倾斜，否则光学厚度增大，泰勒展开近似不成立。

推导 $\frac{F_0 \tilde{\omega}}{4\pi \mu \left(\frac{1}{\mu_0} - \frac{1}{\mu} \right)} p(\cos \Theta) \left[e^{\tau^* \left(\frac{1}{\mu_0} - \frac{1}{\mu} \right)} - 1 \right] \xrightarrow{\text{泰勒}} \frac{F_0 \tilde{\omega}}{4\pi \mu \left(\frac{1}{\mu_0} - \frac{1}{\mu} \right)} p(\cos \Theta) \left[1 + \tau^* \left(\frac{1}{\mu_0} - \frac{1}{\mu} \right) - 1 \right] = \frac{F_0 \tilde{\omega} \tau^*}{4\pi \mu} p(\cos \Theta)$

泰勒展开：对于小的 x ， $e^x \approx 1 + x$

物理模型

F_0 忽略消光的太阳辐射 $\tilde{\omega}$ 有多少散射的辐射 τ^* 有多少辐射被消光 $p(\cos \Theta)$
$ \mu $ 倾斜的入射辐射情况 4π 往探测器方向的辐射